

A 16

ИНСТИТУТ
ЯДЕРНОЙ ФИЗИКИ СОАН СССР

ИЯФ 75 - 70

Е.А.Абрамян, С.Б.Вассерман, В.М.Долгушин,
Л.А.Моркин, О.П.Печерский, В.А.Цукерман

ГЕНЕРАТОР МОЩНЫХ ИМПУЛЬСОВ ЭЛЕКТРОН-
НЫХ ПУЧКОВ И РЕНТГЕНОВСКОГО ИЗЛУЧЕНИЯ
(РИУС - 5)

Издательство
Института ядерной
физики АН СССР
1970

Новосибирск

1970

Е.А.Абрамян, С.Б.Вассерман, В.М.Долгушин, Л.А.Моркин
О.П.Печерский, В.А.Цукерман

ГЕНЕРАТОР МОЩНЫХ ИМПУЛЬСОВ ЭЛЕКТРОННЫХ ПУЧКОВ И РЕНТГЕНОВСКОГО ИЗЛУЧЕНИЯ

(Риус-5)

А Н Н О Т А Ц И Я

Описана электрическая схема и конструкция электронного ускорителя РИУС-б, позволяющего получать релятивистские электронные пучки в десятки Ka наносекундной длительности, а также мощные вспышки рентгеновского излучения.

Высоковольтный импульсный генератор на связанных контурах, разрядник-обостритель и ускорительная (рентгеновская) трубка с монолитным изолятором, отлитым из эпоксидной смолы, помещены в котел диаметром 1,8м и длиной 5,5м, заполненный сжатым газом.

На установке получен пучок электронов с максимальной энергией в импульсе 4 Мэв при токах до 30 ка и длительности 40 нсек. Электронный пучок либо выпускался через титановую фольгу в атмосферу, либо тормозился на тяжелой мишени. Доза рентгеновского излучения за импульс достигала 10 р/м.

1. Введение

В последние годы достигнут значительный прогресс в разработке генераторов мощных импульсов электронных пучков и коротких вспышек жесткого рентгеновского излучения большой интенсивности. Они применяются для исследования радиационной стойкости материалов и приборов, быстропротекающих явлений, радиобиологических процессов, а также для накачки лазеров. Получения высокотемпературной плазмы и др. Генераторы такого типа работают в диапазоне энергий ускоренных электронов 2-12 Мэв, импульсные токи через трубы составляют десятки и сотни тысяч ампер. Такие установки обычно строятся по схеме: высоковольтный источник питания с формирующей линией (бомбкой), разрядник - обостритель, импульсная ускорительная трубка с автозадиссионным катодом. В качестве источника высокого напряжения используются либо генератор Ван-де-Граафа /1,2/, либо конденсаторный ударный контур по схеме Маркса с удвоением напряжения на линии Блюмайна /3,4,5/, либо схема Маркса на линиях /6/. Высоковольтный источник питания, как правило, располагается в общем баке с остальными элементами ускорителя, однако известны установки /7/, в которых формирующая линия заряжается от ударного контура, расположенного вне бака. В качестве диэлектрической среды в этих установках используются сжатый газ или трансформаторное масло. В последнее время получены положительные результаты при использовании в качестве диэлектрика хорошо очищенной воды ($\epsilon = 80$) /8/.

В настоящей работе описана установка, в которой в качестве источника высокого напряжения используется импульсный генератор на связанных контурах (трансформатор Тесла) /9/. Первая краткая информация об этой машине приведена в работе /10/. На рис.1 показан схематический разрез установки. В котле (1) расположена импульсная ускорительная трубка (4), высоковольтный электрод-кондуктор (3) и трансформатор (2). Размещенная вне корпуса установки конденсаторная батарея С, через воздушные разрядники (P_1 и P_2), разряжается на первичную обмотку (14) трансформатора. В момент, когда напряжение на кондукторе достигает максимального значения, происходит управляемый пробой спускового промежутка (8) между кондуктором и трубкой.

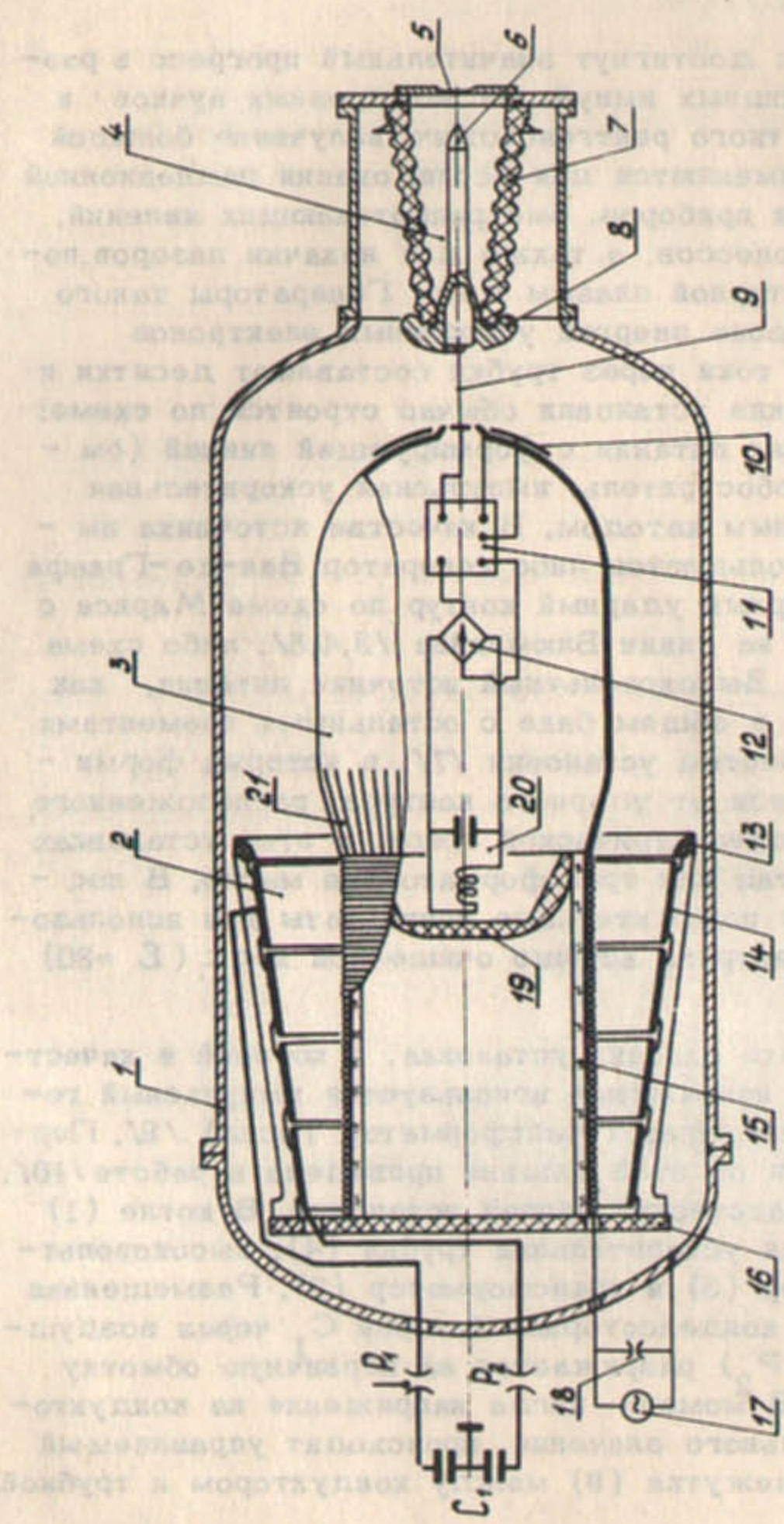


Рис.1. Схематический разрез установки. 1-катод, 2-трансформатор, 3-анод, 4-ускорительная трубка, 5-анод, 6-катод, 7-изолятор, 8-электрод, 9-разрядник-обостритель, 10-емкостной делитель, 11-блок поджига, 12-выпрямитель, 13-электрод, 14-первичная обмотка, 15-вторичная обмотка, 16-изолационное основание, 17-генератор, 18-разрядник, 19-защитный электрод, 20-колебательный контур, 21-'защитная' часть кондуктора, Р₁ и Р₂-воздушные разрядники.

и ёмкость кондуктора разряжается на трубку. Под действием больших градиентов электрического поля катод (6) эмиттирует электроны, которые ускоряются электрическим полем. Далее электроны могут быть заторможены на тяжелой мишени (5) с образованием тормозного рентгеновского излучения или выведены в атмосферу либо в другую камеру через тонкую фольгу.

Ускоритель позволяет получать импульсы тока ускоренных электронов в десятки ка при энергии до 5 Мэв и длительности импульса 40-50 нсек. Энергия, запасаемая в батарее первичного контура, до 10 кдж.

Габаритные размеры ускорителя с питающей батареей: диаметр - 2м, длина - 8м, вес ускорителя с батареей - 7 тн, фотография ускорителя приведена на рис.2.

Ниже описаны основные элементы установки, а также методики измерений и экспериментальные результаты, полученные на ускорителе.

П. Генератор высокого напряжения

Как указывалось во введении, в качестве генератора высокого напряжения используются настроенные в резонанс индуктивно связанные колебательные контура, работающие в режиме свободных колебаний при возбуждении (трансформатор Тесла). Усовершенствования, внесенные в ускорители с высоковольтным генератором такого типа /11/ и опыт постройки и эксплуатации ускорителей этой системы /12,13/ явились хорошими предпосылками для применения высоковольтного генератора на связанных контурах в ускорителе РИУС-5. На рис.3 представлена принципиальная схема генератора и эпюры напряжений на его первичном и вторичном контурах в режиме холостого хода. Форма кривых колебаний соответствует существующему в генераторе коэффициенту связи $k = 0.47$. При такой величине коэффициента связи, с учётом затухания колебаний, в ёмкость, образованную высоковольтным электродом и корпусом ускорителя, к моменту времени t_1 , передаётся 70% энергии, накопленной в батарее С₁.

Параметры элементов схемы высоковольтного генератора:
 $L_1 = 5 \cdot 10^{-6}$ гн, $L_2 = 0.09$ гн, $C_1 = 5$ мкф, $C_{2\text{экв}} = 284$ пф

для срабатывания разрядника-обострителя потенциал кондуктора практически мгновенно (по сравнению с собственным временем вторичного контура) уменьшается до нуля. В этот момент распределение потенциала вдоль вторичной обмотки оказывается резко неравномерным. Градиент напряжения на последних витках обмотки в этом случае может возрасти более, чем на порядок.

(ёмкость кондуктора C_2 , составляющая часть $C_{2\text{экв.}}$, равна 220 пф). Коэффициент трансформации равен 125. Длительность одной полуволны колебаний напряжения - 15 мксек; отрезок времени от момента замыкания первичного контура до момента за- рядки высоковольтной ёмкости (кондуктора) до максимального напряжения (момент t_1) составляет 22,5 мксек.

Конструкция высоковольтного генератора показана на рис.1. На изоляционном основании (16) закреплены первичная (14) и вторичная (15) обмотки трансформатора. Первичная обмотка имеет 4 витка, закрепленных на стеклотекстолитовых брусьях. Для снижения градиентов электрического поля на конце обмотки рядом с последним витком установлен закругленный электрод (13), соединенный с серединой витка. Конструктивно электрод выполнен в виде текстолитового каркаса, на внутренней поверхности которого закреплены торOIDально намотанные и прилегающие друг к другу витки эмалированного провода диаметром 1 мм. По наружному диаметру электрода все проводники соединены между собой шинкой. При такой конструкции электрод (13) прозрачен для переменного магнитного потока.

Вторичная обмотка, имеющая 580 витков, намотана в один слой на цилиндрическом каркасе из оргстекла проводом с полиэтиленовой изоляцией. Размеры обмотки: диаметр 90 см, длина 180 см. Высоковольтный конец вторичной обмотки присоединен к кондуктору (3). Примыкающая к обмотке часть (21) кондуктора также должна быть "прозрачной" для переменного магнитного потока, поэтому в этой области он имеет многочисленные надрезы на длину 50 см вдоль образующей. Далее кондуктор переходит в сплошной цилиндр, заканчивающийся полусферой.

При срабатывании разрядника-обострителя потенциал кондуктора практически мгновенно (по сравнению с собственным временем вторичного контура) уменьшается до нуля. В этот момент распределение потенциала вдоль вторичной обмотки оказывается резко неравномерным. Градиент напряжения на последних витках обмотки в этом случае может возрасти более, чем на порядок. Значительное снижение перенапряжений достигнуто установкой соединенного с кондуктором защитного электрода (19), который увеличивает ёмкость последних витков на высоковольтный конец обмотки.

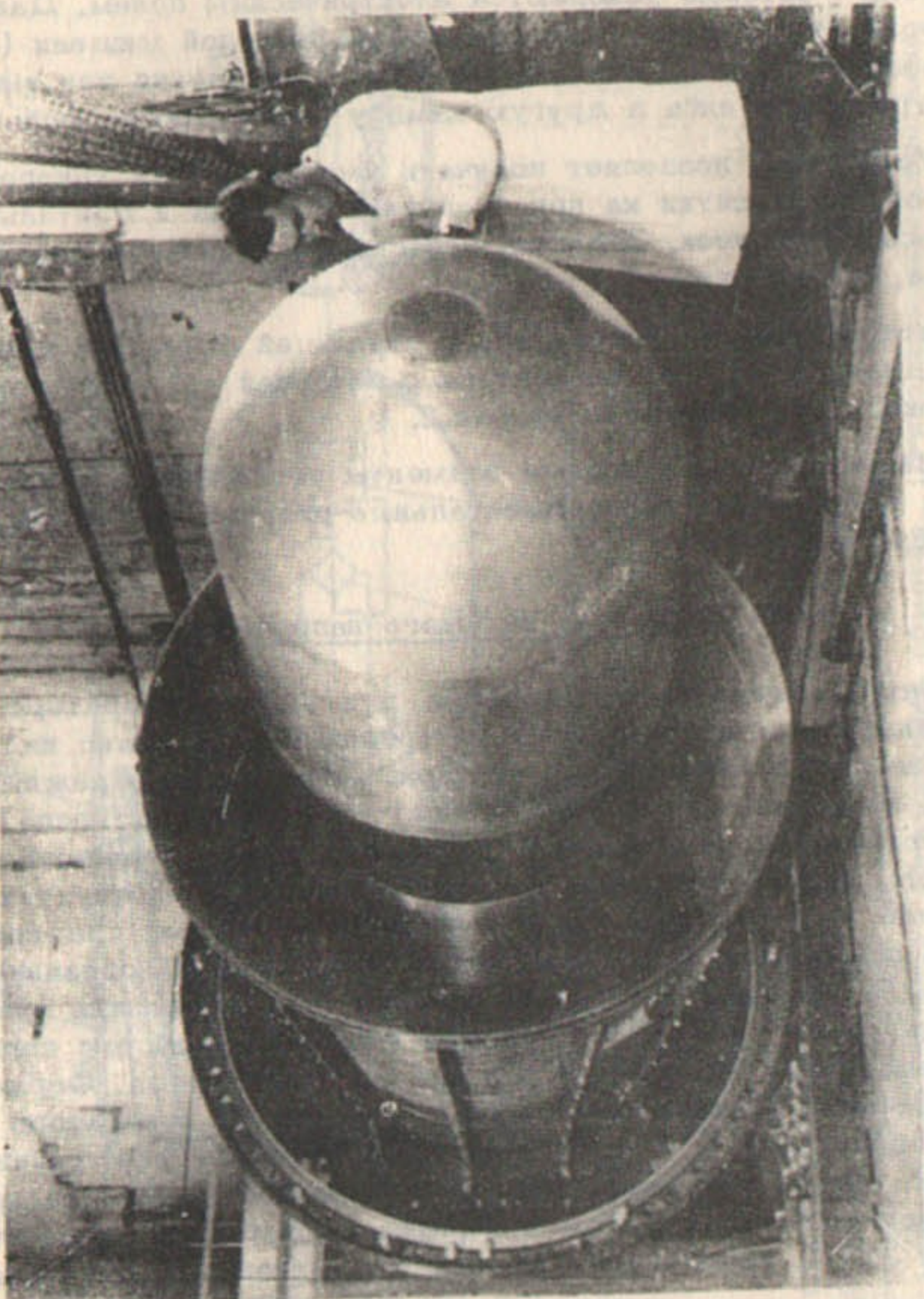


Рис.2. Ускоритель РИС-б.

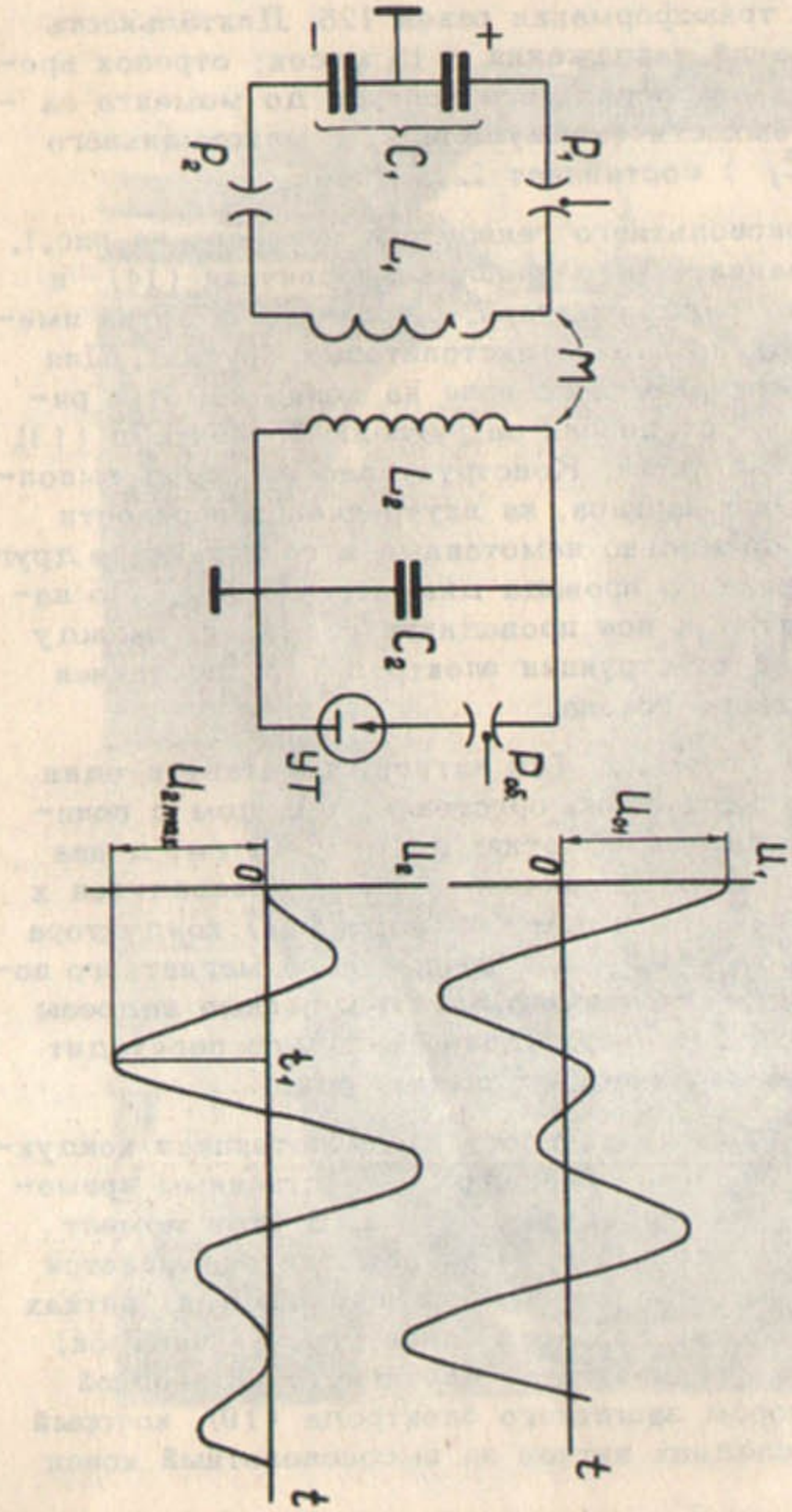


Рис.3. Принципиальная схема генератора и эпюры напряжений. C_1 - ёмкость первичного контура, L_1 - индуктивность первичного контура, R_1 - трёхэлектродный разрядник, R_2 - двухэлектродный разрядник, C_2 - ёмкость вторичного контура, L_2 - индуктивность вторичного контура, U_1 - первичное напряжение, U_2 - вторичное напряжение, t_1 - момент пробоя разрядника-обострителя, t_2 - момент пробоя разрядника-обострителя.

Накопительная батарея первичного контура (ёмкость C_1) состоит из двух групп конденсаторов типа КММ 50-2,5 (50 кв; 2,5 мкф) по 4 конденсатора в каждой группе.

III. Разрядник-обостритель

Запасенная в кондукторе энергия коммутируется на трубку разрядником-обострителем (9, рис.1). Он образован полусферическим электродом ускорительной трубы (8) и вершиной кондуктора (3). Был выбран тригатронный способ поджига разрядного промежутка. В связи с относительно большим временем накачки энергии во вторичный контур трансформатора ($T \approx 30$ мксек) требования по синхронному включению разрядника-обострителя невысоки. Длина газового промежутка разрядника определяется его электрической прочностью и составляет 35 см. Оценки /14, 15/ и измерения, выполненные в ходе экспериментов, показали, что индуктивность канала разряда для данной конструкции спустя 10 - 20 мксек после появления искры лежит в пределах 0,5 - 1 мкги.

Блок поджига тригатрона (11) включает в себя импульсный трансформатор, накопительный конденсатор ($C=0,5$ мкф, $U=5$ кв) и вакуумное реле ВИР-БС. При коммутации ёмкости на первую обмотку трансформатора на выходе блока поджига возникает импульс напряжения со следующими параметрами: $U = 150$ кв; $T/4 = 1$ мксек.

В ходе экспериментов была проверена эффективность работы поджига разрядника-обострителя при расположении его на трубке и на кондукторе. В первом случае зарядка первичной ёмкости и запуск коммутирующего ВИРа производится по кабелю РК-18, спирально намотанному на наружную поверхность ускорительной трубы. Во втором случае питание блока поджига и его запуск производятся следующим образом: внутри кондуктора (3) расположен дополнительный колебательный контур (20), собственная частота колебаний которого совпадает с частотой вторичного контура трансформатора Тесла. Раскачка этих контуров производится генератором (17), работающим на их резонансной частоте /16/. Напряжение контура (20) выпрямляется мостом (12) и используется для зарядки накопительной ёмкости блока поджига (11). Время зарядки ёмкости при питании от генератора

ра мощностью 40 вт составляет несколько секунд. В момент высоковольтного импульса рабочий ток вторичного контура (15) замыкается через разрядник (18), напряжение срабатывания которого выше напряжения генератора (17). Синхронизация момента срабатывания схемы поджига осуществляется автоматически импульсом высокого напряжения, часть которого поступает в схему поджига от емкостного делителя (10) через линию задержки, подобранную таким образом, чтобы срабатывание разрядника-обострителя происходило в момент максимума напряжения на кондукторе.

Испытание обоих вариантов поджига показало, что при расположении поджигающей системы на кондукторе (отрицательный электрод промежутка) его работа более эффективна. В этом варианте поджиг позволяет осуществлять пробой промежутка при напряжениях, составляющих менее половины напряжения самопробоя.

1У. Ускорительная трубка

Несмотря на большое количество работ, посвященных вопросам холодной эмиссии и вакуумного пробоя, в настоящее время, по-видимому, не существует общепринятой теории, позволяющей объяснить все процессы, происходящие в ускорительной трубке рассматриваемого типа. Отсутствует возможность рассчитать характеристики ускорительного промежутка, т.е. величину сопротивления промежутка и его изменение во времени при заданном напряжении. В реальных генераторах проблема усложняется еще и тем обстоятельством, что величина и форма кривой напряжения на трубке не заданы, а определяются соотношением между внутренним сопротивлением источника питания (включая индуктивность и сопротивление искры разрядника-обострителя, меняющихся во времени) и динамического сопротивления вакуумного промежутка.

Однако, можно полагать, что интенсивное изучение работы ускорительных трубок рассматриваемого типа, проводимое во многих лабораториях, позволит в ближайшее время получить ответы на многие вопросы, связанные с механизмом работы трубок и, в частности, продвинуться вперед в теории холодной эмиссии и вакуумного пробоя.

Конструкция ускорительной трубы установки РИУС-5 видна на рис.1. Катод (6) установлен на монолитном изоляторе (7). Длина изолятора - 80 см, наибольший диаметр - 60 см. Он изготовлен из эпоксидного компаунда ЭД-6. Наружная и внутренняя поверхности изолятора развиты для увеличения электрической прочности. Катод имеет вид штока переменного диаметра. Со стороны кондуктора он оканчивается полусферическим электродом (8). С другой стороны штока имеется резьбовое отверстие для установки сменных эмиттеров. В полости внутри электрода (8) расположен блок поджига (в случае подачи поджигающего импульса со стороны трубы). В качестве анода трубы используются танталовая фольга толщиной 50 мкм и диаметром 80 мм для выпуска электронов в атмосферу либо tantalовая пластина толщиной 0,5 - 1 мм для получения тормозного излучения. Геометрия электродов и защитных экранов трубы уточнялись в электролитической ванне для получения возможно более равномерного распределения потенциала вдоль изолятора.

Откачка системы осуществляется вакуумным диффузионным насосом Н5С с азотной ловушкой до давления 10^{-5} мм рт.ст.

У. Корпус и изолирующая среда

Котел ускорителя изготовлен из стали и имеет следующие габаритные размеры: диаметр 180 см, длина 550 см. Он расположен на тележке, облегчающей разборку и сборку установки. Для предотвращения коррозии внутренняя поверхность бака покрыта тонким слоем эпоксидной смолы.

Изолирующей средой ускорителя является 50% смесь элегаза (SF_6) и азота при давлении 14 кг/см². Для сушки газа используется смесь алюмогеля с силикагелем. Накачка газа производится мембранным компрессором МК 4,5/200. Смесь хранится в газгольдере при давлении 16 кг/см².

У1. Результаты экспериментов

На ускорителе РИУС-5 выполнен ряд экспериментов для измерения характеристик ускоренного пучка и рентгеновского излучения.

Были измерены: величина и форма импульсов тока и напря-

жения на ускоряющем промежутке; количество уносимой пучком энергии (джоулей); размер пучка на аноде трубы; интегральная доза за импульс в плоскости окна и на расстоянии 1 м от мишени; просвечивающая способность и форма импульса рентгеновского излучения.

Перечисленные характеристики изучались при различной геометрии иглы, разных величинах промежутка игла-анод и нескольких толщинах мишени. Измерения проводились в диапазоне напряжений на кондукторе высоковольтного генератора от 3 до 7 Мв.

1. Методика измерений

а) Ток пучка электронов измерялся поясом Роговского, расположенным в районе мишени со стороны вакуума (рис.4). Экран (3) защищает датчик от электростатической наводки и от попадания на него электронов. Пояс Роговского имеет следующие параметры: число витков 360, индуктивность 1 мГн, сопротивление нагрузки (с учётом измерительной цепи) 7,2 ом.

Чувствительность датчика составляет:

$$\frac{U_c}{I_{tr}} = \frac{R_H}{W_n} = \frac{7,2}{360} = 0,02 \frac{\text{в}}{\text{а}}, \text{ где}$$

U_c - напряжение сигнала, I_{tr} - ток пучка, R_H - нагрузочное сопротивление пояса Роговского, W_n - число витков пояса.

б) Напряжение на ускорительном промежутке измерялось емкостным делителем (рис.4). Обкладка датчика (1), с которой снимается сигнал, имеет ёмкость на корпус около 6000 пФ. Постоянная времени разряда ёмкости датчика на сопротивление измерительной цепи, равное 150 ом, составляет величину ~ 900 нсек, что много больше длительности импульса напряжения. Чувствительность датчика

$$\frac{U_c}{U_{tr}} = 225 \frac{\text{в}}{\text{МВ}}$$

где: U_c - напряжение сигнала с датчика, U_{tr} - ускоряющее напряжение на промежутке. Чувствительность датчика устанавливалась предварительной калибровкой емкостного делителя с помощью генератора ВЧ-колебаний.

результаты измерений, полученные с помощью различных методов, не отличаются друг от друга.

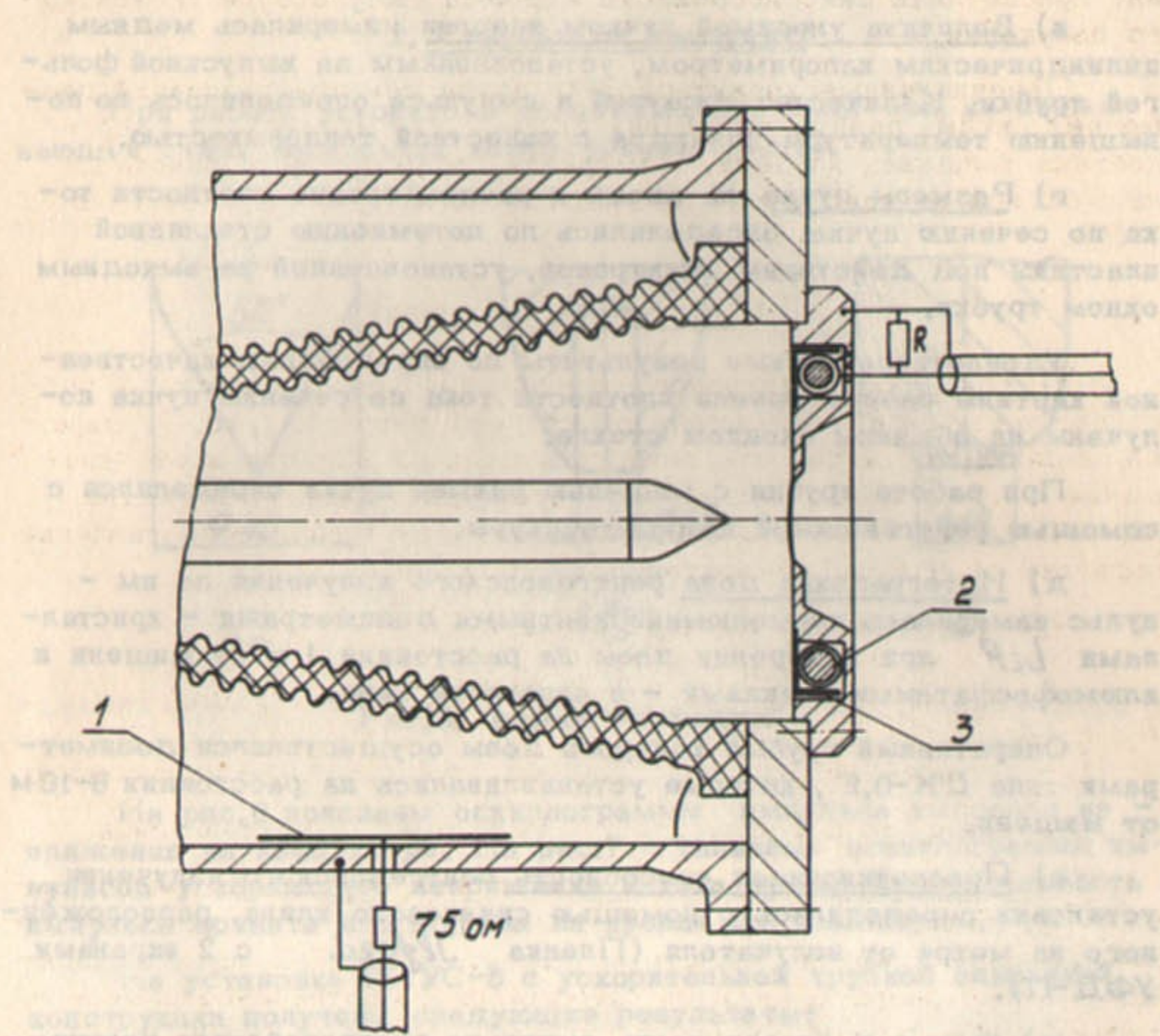


Рис.4. Расположение датчиков I_{tr} и U_{tr} . 1 - обкладка емкостного датчика, 2 - пояс Роговского, 3 - экран, R - нагрузочное сопротивление пояса Роговского.

Для наблюдения и фотографирования импульсов тока пучка и ускоряющего напряжения использовались скоростные осциллографы ОК-19М и ОК-21.

в) Величина уносимой пучком энергии измерялась медным цилиндрическим калориметром, установленным за выпускной фольгой трубы. Количество джоулей в импульсе определялось по повышению температуры цилиндра с известной теплоёмкостью.

г) Размеры пучка на аноде и распределение плотности тока по сечению пучка, определялись по потемнению стеклянной пластины под действием электронов, установленной за выходным окном трубы.

Удовлетворительные результаты по определению качественной картины распределения плотности тока по сечению пучка получены на обычном оконном стекле.

При работе трубы с мишенью размер пучка определялся с помощью рентгеновской камеры-обскуры.

д) Интегральная доза рентгеновского излучения за импульс измерялась термolumинесцентными дозиметрами - кристаллами LiF при измерении дозы на расстоянии 1 м от мишени и алюмофосфатными стеклами - в плоскости окна.

Оперативный грубый контроль дозы осуществлялся дозиметрами типа ДК-0,2, которые устанавливались на расстоянии 6-10 м от мишени.

е) Просвечивающая способность рентгеновского излучения установки определялась с помощью свинцового клина, расположенного на метре от излучателя (Пленка *Telford* с 2 экранами УФД-П).

ж) Форма и длительность импульса рентгеновского излучения контролировалась электронным умножителем ЭЛУ-09.

Кроме перечисленных величин, при работе установки контролировались высокое напряжение на кондукторе и момент срабатывания разрядника-обострителя. Высокое напряжение на кондукторе измерялось по первичному напряжению, до которого заряжались конденсаторы C_1 (как указывалось выше, коэффициент трансформации равен 125) и по напряжению на петле, закрепленной на изоляционной плате (18, рис.1). Этот датчик был предва-

рительно откалиброван. Момент срабатывания разрядника-обострителя определялся по срыву кривой \mathcal{U}_2 , снимаемой с описанного датчика (рис.6).

2. Результаты измерений

При работе ускорителя использовались эмиттеры из нержавеющей стали нескольких конфигураций (рис.5).

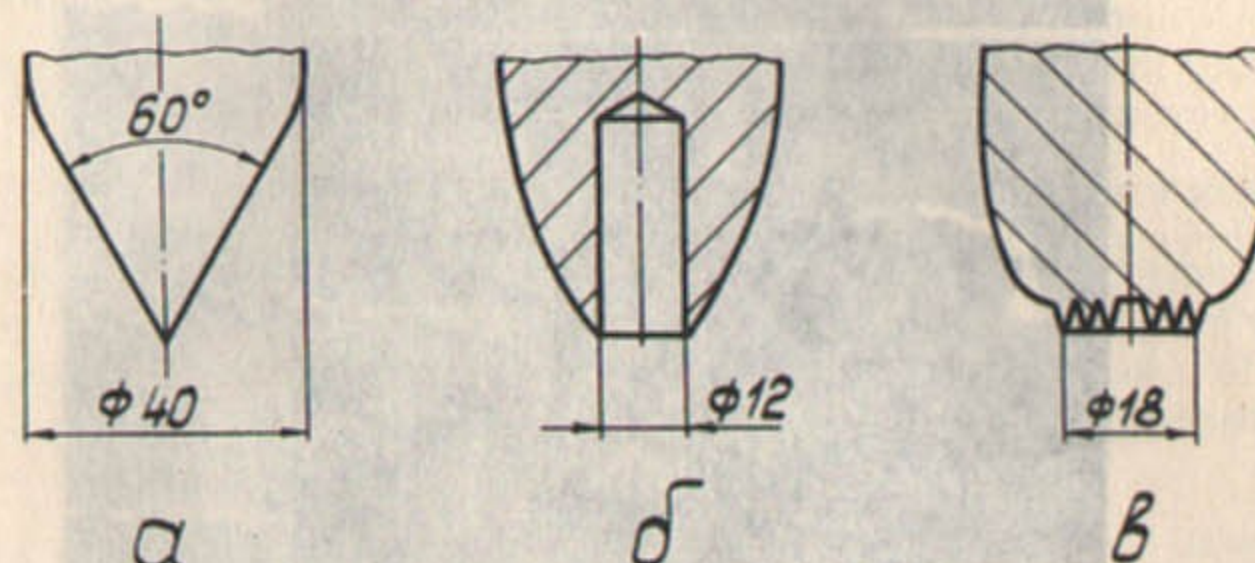


Рис.5. Форма эмиттеров.

На рис.6 показаны осцилограммы импульса высокого напряжения на кондукторе. На рис.7 - типичные осцилограммы импульсов ускоряющего напряжения и тока пучка. За длительность импульса принята его ширина на уровне 0,5 амплитуды.

На установке РИУС-5 с ускорительной трубкой описанной конструкции получены следующие результаты:

- напряжение на кондукторе - 7 Мв,
- максимум ускоряющего напряжения - 4 Мв,
- максимум тока пучка - 30 ка,
- длительность импульса тока - 40 нсек,
- интегральная доза за импульс -
- на расстоянии 1 м - 10 рентген,
- на плоскости окна - $20 \cdot 10^3$ рентген,

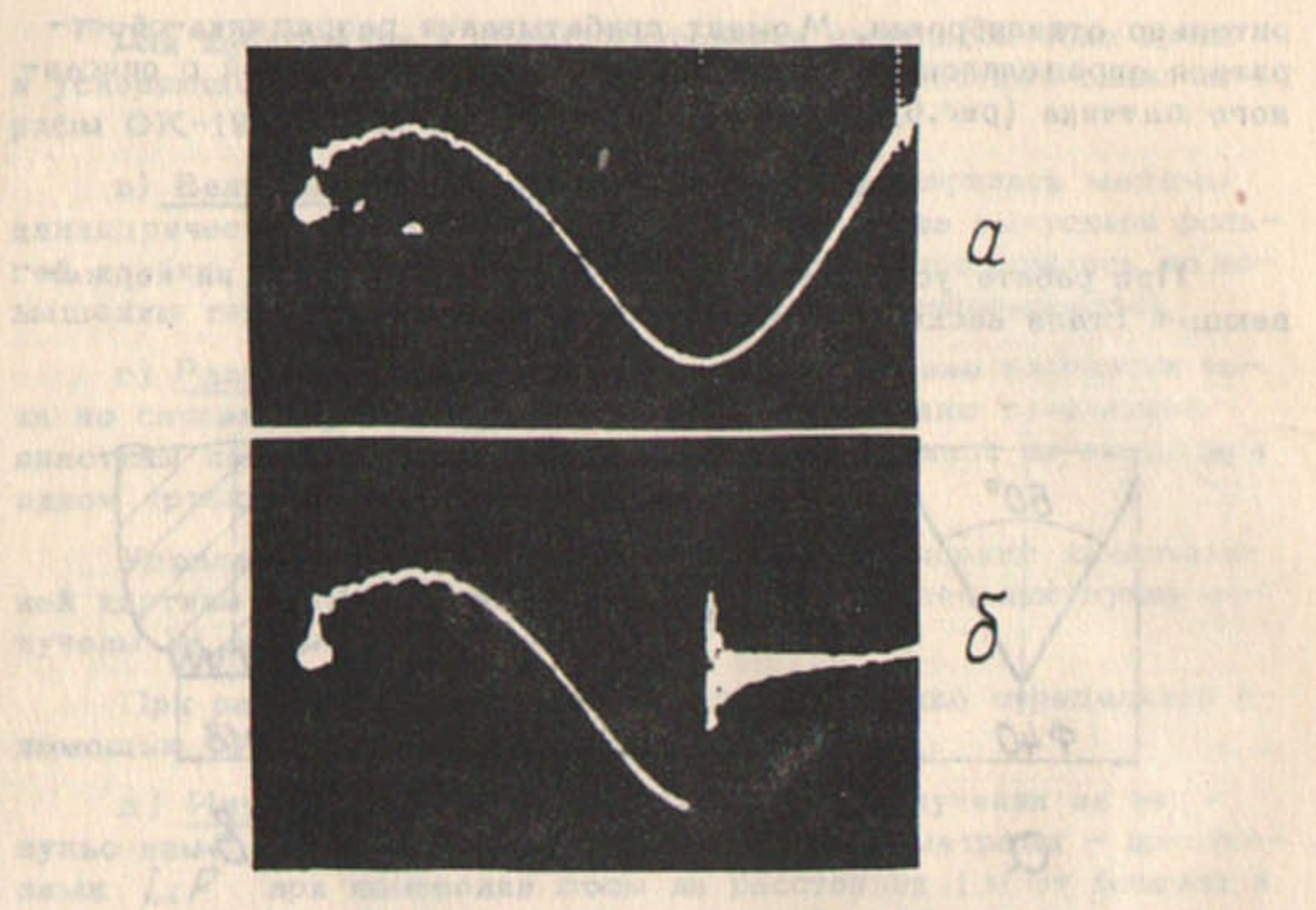


Рис.6. Осциллограммы импульса высокого напряжения на кондукторе. а - при холостом ходе, б - при срабатывании разрядника-обострителя. Разворотка - 5 мксек/см.

просвечивающая способность
одного импульса излучения - 160 мм R_B на 100 см от
мишени,
уносимая пучком энергия в импульсе - 2,5 кДж,
максимум мощности ускоренного пучка - 10^{11} вт,
максимальная мощность рентгеновского
излучения в плоскости окна - $5 \cdot 10^{11}$ р/сек.

Ниже приводятся характеристики пучка и рентгеновского излучения, снятые при напряжении на кондукторе 3 и 4 Мв.

На рис.8 показана зависимость от зазора эмиттер-анод (δ) максимальных значений тока пучка (J_{tr}) и ускоряющего

напряжения на кондукторе (U_{cond}). На рис.9 показано изменение тока пучка в зависимости от зазора эмиттер-анод (δ) и напряжения на кондукторе (U_{cond}).

График

График

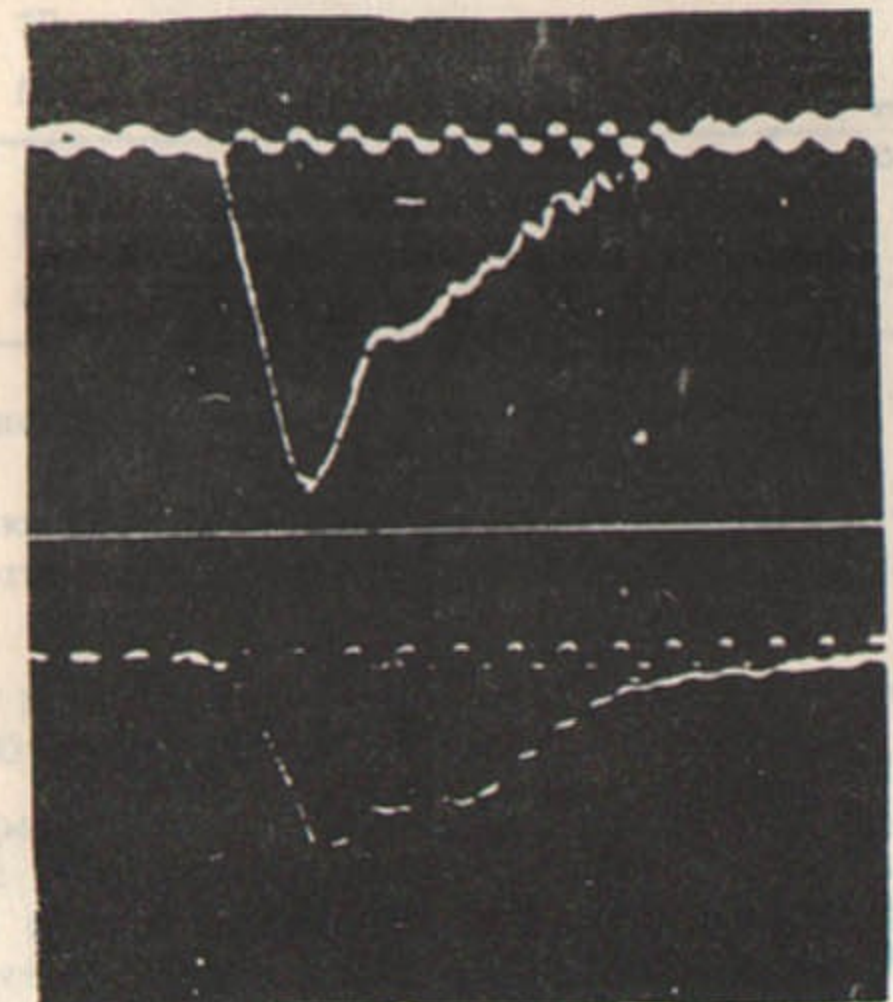


Рис.7. Типичные осциллограммы импульсов ускоряющего напряжения (а) и тока пучка (б). Метки - 100 Мгц.

напряжения (U_{tr}), а также энергии, уносимой пучком (W), при напряжении на кондукторе 3 Мв. Эмиттер имел форму (б) (рис.5).

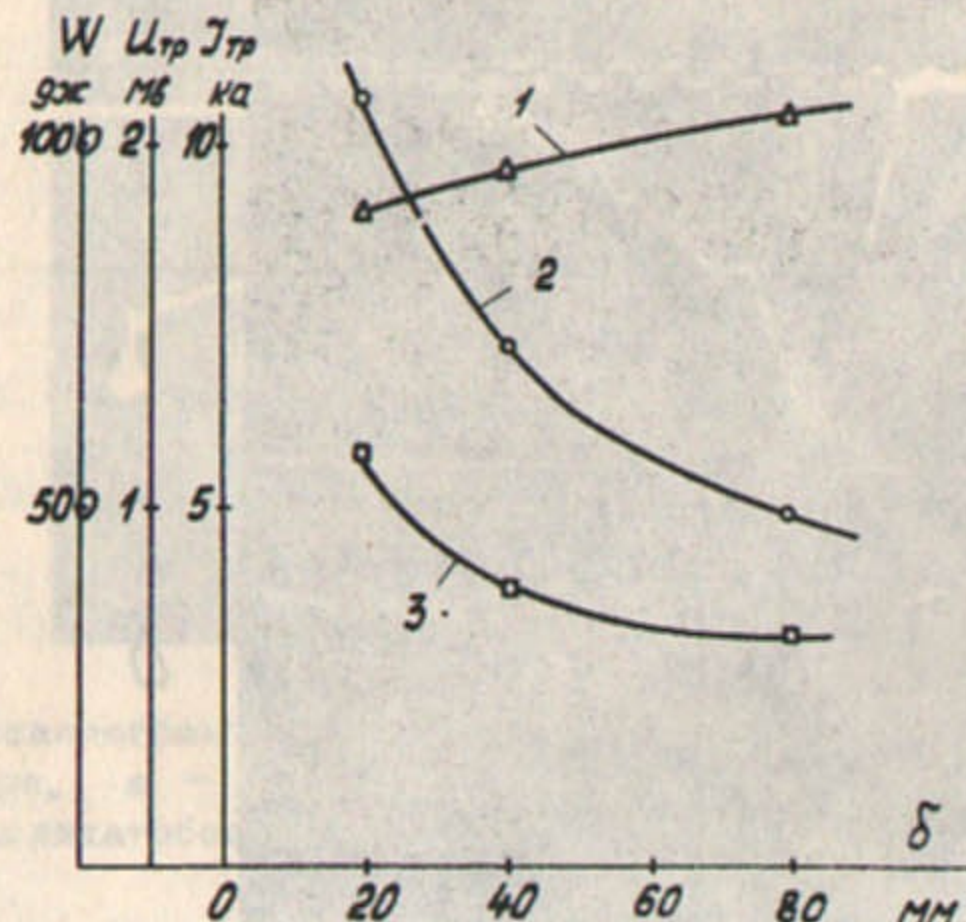


Рис.8. Зависимость от зазора эмиттер-анод (δ) максимальных значений ускоряющего напряжения (1), тока пучка (2) и энергии, уносимой пучком, (3) при напряжении на кондукторе 3 Мв.

В таблице 1 приведены величины токов и напряжений на трубке для различных геометрий эмиттера при $U_2 = 4$ Мв и зазоре $\delta = 40$ мм.

Таблица 1.

Геометрия эмиттера (рис.5)	a	b	v
U_{tr} Мв	2,7	2,6	2,5
I_{tr} ка	10	11,5	15

Поперечные размеры электронного пучка за выпускным окном при $U_2 = 3$ Мв и $\delta = 20$ мм для всех типов эмиттеров составляют 40 - 50 мм, причём эмиттер-острие (а) даёт пучок кольцевого сечения (рис.9). Аналогичная форма пучка описана в /17/.

На рис.10 показана фотография пучка электронов, (2 Мэв, 10 ка, 50 нсек), выпущенного в атмосферу.

Характеристики рентгеновского излучения определялись при работе с tantalовой мишенью толщиной 0,5-1 мм. Зависимость дозы за импульс на расстоянии 1 м от мишени от величины зазора эмиттер-анод для иглы формы α показана на рис.11. Напряжение на кондукторе - 4 Мв. Угловое распределение дозы при оптимальном зазоре 60 мм видно на рис.12.

напряжения кондуктора U , в пакете воздуха, узелковый пучок при напряжении на кондукторе 3 Мв имеет форму (б) (рис.9).

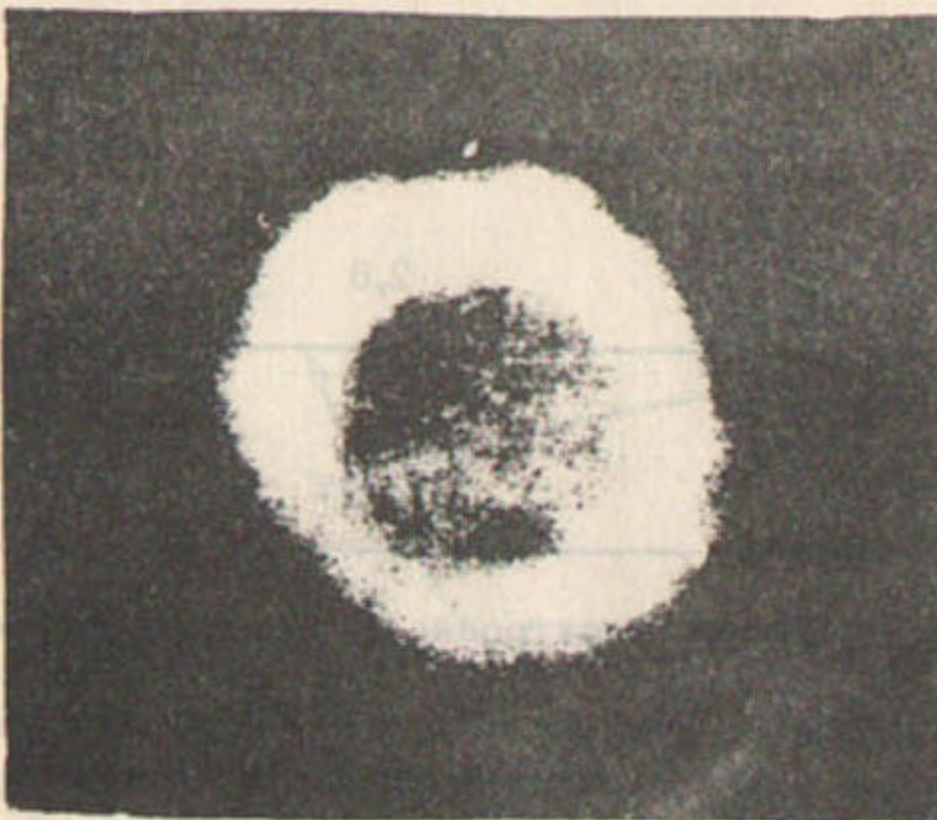


Рис.9. Сечение пучка при напряжении на кондукторе 3 Мв. зазоре 20 мм с конического эмиттера (форма - б).

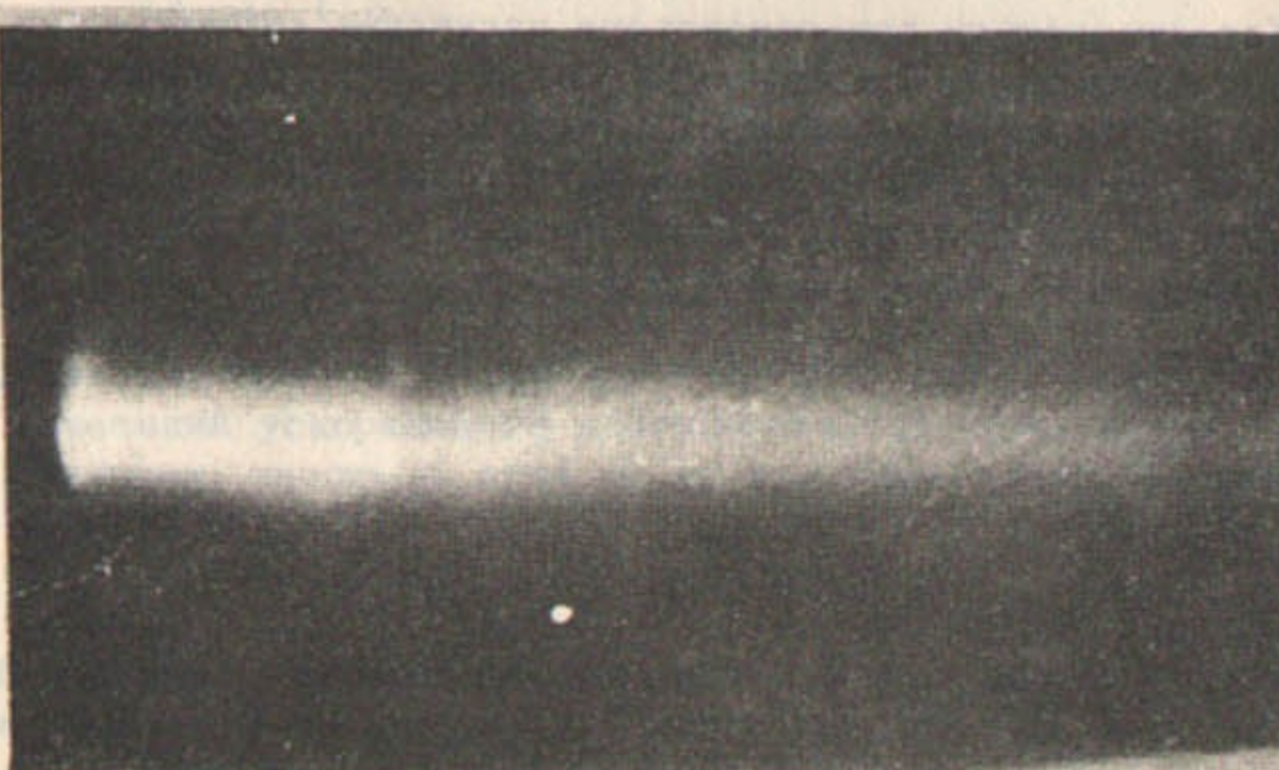


Рис.10. Пучок электронов, выпущенный в атмосферу (2 Мэв, 10 ка, 50 нсек).

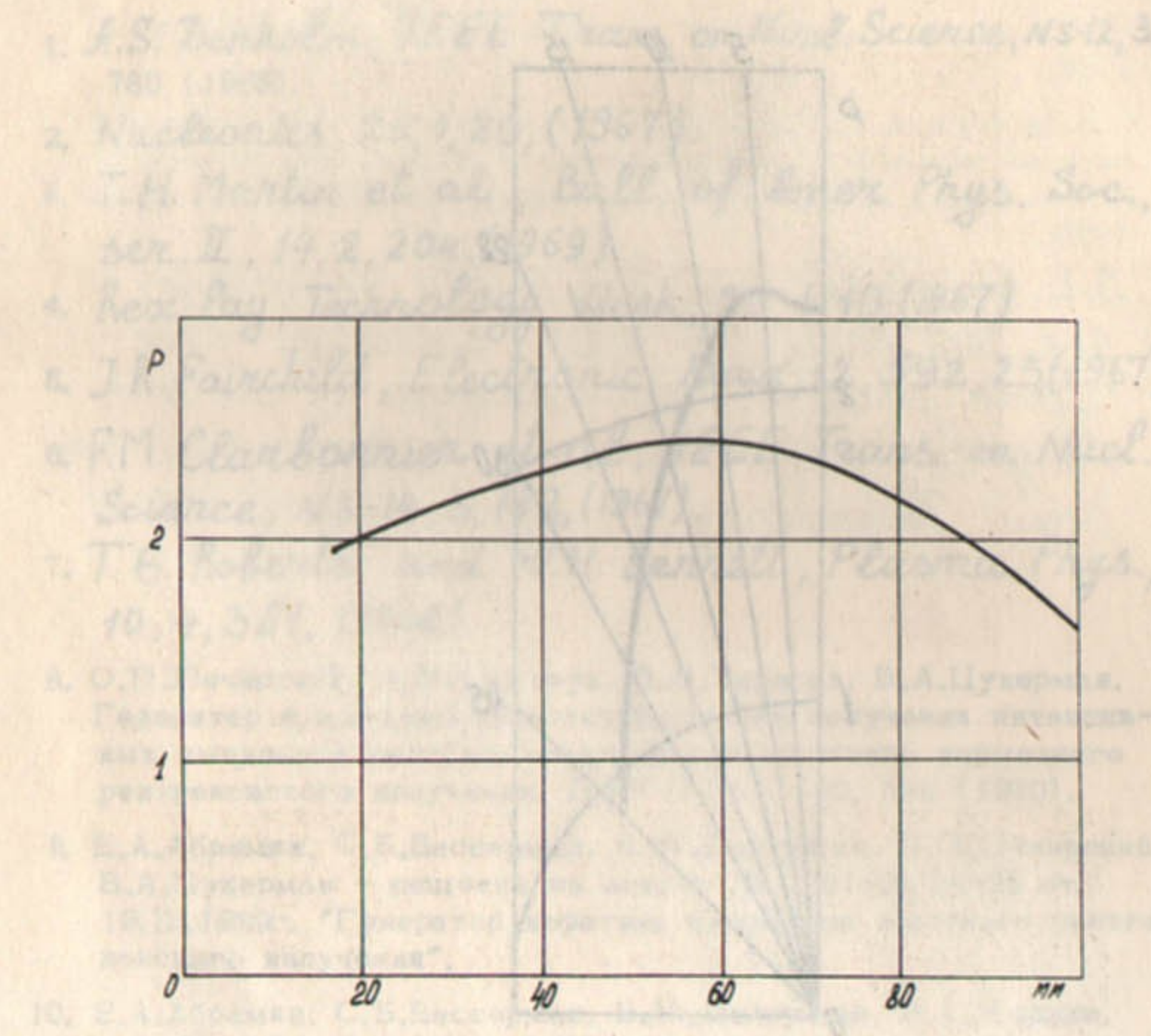


Рис.11. Зависимость от зазора эмиттер-анод (δ) дозы тормозного излучения за импульс на расстоянии 1 м от мишени при напряжении на кондукторе 4 Мв.

Л и т е р а т у р а

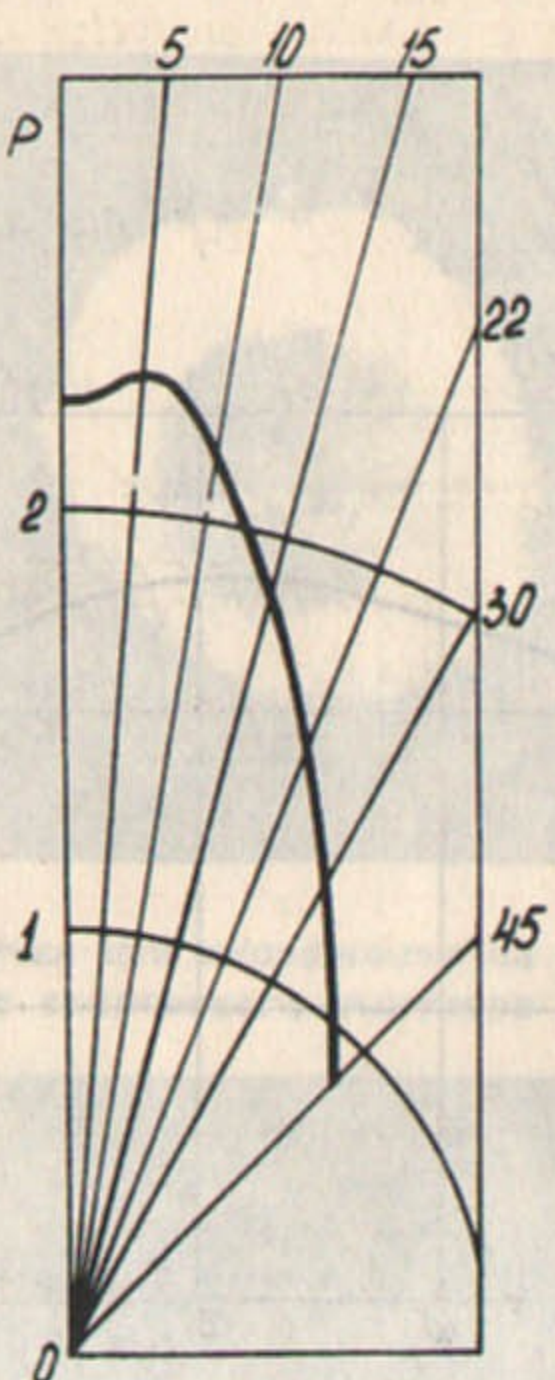


Рис.12. Угловое распределение дозы тормозного излучения.

1. A.S. Denholm, *IEEE Trans. on Nucl. Science*, NS-12, 3, 780 (1965).
2. *Nucleonics*, 25, 1, 20, (1967).
3. T.H. Martin et al., *Bull. of Amer. Phys. Soc.*, ser. II, 14, 2, 204, (1969).
4. Rex Pay, *Technology Week*, 20, 1, 10, (1967).
5. J.R. Fairchild, *Electronic News*, 12, 592, 23, (1967).
6. F.M. Carbonnier et al., *IEEE Trans. on Nucl. Science*, NS-14, 3, 782, (1967).
7. T.G. Roberts and W.H. Bennett, *Plasma Phys.*, 10, 4, 381, (1968).
8. О.П.Печерский, А.М.Сидорук, В.Д.Тарасов, В.А.Цукерман. Генератор с водяным диэлектриком для получения интенсивных импульсов быстрых электронов и жесткого тормозного рентгеновского излучения. ДАН СССР, 192, №6 (1970).
9. Е.А.Абрамян, С.Б.Вассерман, В.М.Долгушин, О.П.Печерский, В.А.Цукерман - решение по заявке № 1257438/26-25 от 18.12.1969г. "Генератор коротких импульсов жесткого рентгеновского излучения".
10. Е.А.Абрамян, С.Б.Вассерман, В.М.Долгушин, Л.А.Моркин, О.П.Печерский, В.А.Цукерман. Генератор коротких импульсов жесткого рентгеновского излучения высокой интенсивности. ДАН СССР 192, №1 (1970).
11. Е.А.Абрамян, С.Б.Вассерман, В.А.Гапонов, Г.С.Крайнов. Ускоритель заряженных частиц. Авторское свидетельство № В-1878.
12. Е.А.Абрамян, С.Б.Вассерман. Атомная энергия, 23, вып.1. (1967).
13. Е.А.Абрамян, Nucl. Instr. and Methods, 59, 22÷28, (1968).

14. С.И.Драпкина, ЖЭТФ 21, 4, 473, (1951).
 15. И.С.Маршак. Импульсные источники света. Госэнергоиздат, 1963.
 16. С.Б.Вассерман, В.Г.Вотинцев, Б.Г.Шкляев. Система электропитания устройств, расположенных в области высоковольтного электрода импульсного трансформатора. Авторская заявка, 1970г.
 17. S.E. Graybill and S.V. Nablo, Techniques for the Study of Self-focusing Electron Streams. Proceedings of the 8th Annual Symposium on Electron and Laser Beam Technology, Michigan, April, (1966)

Ответственный за выпуск В.М.Долгушин

Подписано к печати 9.09.19

Усл. 1,1. печ.л.. тираж 250 экз. Бесплатно.
Заказ № 75

Отпечатано на ротапринте в ИЯФ СО АН СССР.